

## الگوریتم‌های موازی بهینه در حل دستگاه‌های تاپلیتز بر روی شبکه‌های مش و فوق مکعبی

داود رستمی، حسن علیزاده

دانشکده ریاضی، دانشگاه بین‌المللی امام خمینی قزوین، ایران

\* مسئول مکاتبات - آدرس الکترونیکی: [Rostamy@Khayamut.ac.ir](mailto:Rostamy@Khayamut.ac.ir)

(دریافت: ۸۴/۲/۲۹؛ پذیرش: ۸۶/۱/۲۵)

### چکیده

در این مقاله برای اولین بار پیاده سازی و اجرای الگوریتم‌های موازی بر روی شبکه‌های مش (Mesh) و فوق مکعبی (Hypercube) برای حل سیستم‌های خطی تاپلیتز توسط روش Preconditioned Conjugate Gradient (PCG) ارائه گردیده است. ارزش تمام الگوریتم‌های ارائه شده محاسبه و بهینه بودن آن اثبات می‌گردد. همچنین اجرای الگوریتم‌های ارائه شده در نرم افزار PVM (Parallel Virtual Machine) و محاسبه زمان اجرای تکرار و کارایی آنها با توجه به مثال‌های عددی برای ماتریس‌های تاپلیتز ارائه شده است.

**واژه‌های کلیدی:** محاسبات موازی، حل سیستم‌های خطی موازی، روش‌های زیر فضای کرالیف، ماتریس‌های تاپلیتز و شبکه‌های مش و فوق مکعبی

### Procedure PCG(A, b, x<sub>0</sub>, x)

Step1: 1.1)  $r_0 \leftarrow b - Ax_0$

1.2) Solve  $Cz_0 = r_0$

1.3)  $p_0 \leftarrow z_0$

Step2: for  $i = 0, 1, 2, \dots$  until convergence do

2.1)  $a_i \leftarrow (r_i, z_i) / (Ap_i, p_i)$

2.2)  $x_{i+1} \leftarrow x_i + a_i p_i$

2.3)  $r_{i+1} \leftarrow r_i - a_i Ap_i$

2.4) Solve  $Cz_{i+1} = r_{i+1}$

2.5)  $\beta_i \leftarrow (r_{i+1}, z_{i+1}) / (r_i, z_i)$

2.6)  $p_{i+1} \leftarrow z_{i+1} + \beta_i p_i$

end for.

توجه داریم که کران خطا برای روش PCG از رابطه زیر به دست می‌آید (Saad 2002).

$$\frac{\|e_k\|_A}{\|e_0\|_A} \leq 2 \left( \frac{\sqrt{\lambda_{\max}} - \sqrt{\lambda_{\min}}}{\sqrt{\lambda_{\max}} + \sqrt{\lambda_{\min}}} \right)^k$$

که در آن  $\|x^0 - x_k\|_A = e_k$  بردار خطا در تکرار  $k$  ام و  $\lambda_{\min}$  و  $\lambda_{\max}$  به ترتیب کوچکترین و بزرگترین مقادیر ویژه ماتریس ضرائب و  $x^0$  جواب دستگاه می‌باشد. این رابطه نشان می‌دهد هر چه مقدار  $\frac{\lambda_{\max}}{\lambda_{\min}}$  کوچکتر باشد همگرایی سریعتر است. همچنین از این رابطه نتیجه می‌شود. نرخ همگرایی خطی است. بنابراین روش PCG بعد از تعداد

### مقدمه

امروزه کارهای بسیاری در حالت موازی سازی سیستم‌های خطی توسط نویسندگانی متفاوتی در این خصوص انجام شده است (Chan et al 1989, Misra Gallivan et al 1989, Gupta et al 1992, Gupta et al 1992, Sameh et al. 1977, Qinn 1990, Miranker 1971 et al. 1993, Vagda 1993, Saad 1988, Saad 2002). این مقاله بر اساس ساختارهای جدید فوق مکعبی برای ضرب ماتریس‌ها و با استفاده از تئوری جبر خطی عددی که برای ساختن ماتریس‌های ضریبی مناسب برای حل این دستگاه‌ها است، ارائه شده است (Anisimov 1999, Bitmead & Anderson 1980, Strang. 1986, Gupta et al. 1992, Davis 1979, Bunch 1985). و این وجه تمایز عمده با سایر کارهای قبلی می‌باشد که پیچیدگی محاسبات را کاهش می‌دهد. در ضمن برای مقایسه روش مش (Saad, Bertsekas et al., 1989) (2002) بعنوان شاخص در نظر گرفته شده است. بدین منظور به مطالب زیر به عنوان مقدمه توجه می‌کنیم.

دستگاه خطی زیر که در آن  $A_{n \times n}$  ماتریس حقیقی، متقارن و معین مثبت فرض می‌شود را در نظر بگیرید:

$$Ax = b \quad (1)$$

روش (Preconditioned Conjugate Gradient) PCG برای حل این دستگاه بصورت ترتیبی توسط الگوریتم زیر بیان می‌شود. که در آن  $r_0, x_0$  به ترتیب بردار اولیه و بردار باقیمانده می‌باشند. ماتریس  $C_{n \times n}$  ماتریس پیش شرط نامیده می‌شود. که چگونگی محاسبه آن را با روشهای استرانگ و چن در ادامه بیان خواهیم کرد.

است (Davis 1979).

(۲) اگر  $\Delta = \text{diag}(\lambda_0, \lambda_1, \dots, \lambda_n)$  و  $\lambda_i$  مقادیر ویژه  $C$  باشند آنگاه  $[1 \ 0] C = F^* \wedge F$ .

**نتیجه:** اگر  $C = \text{Circ}(c_0, c_1, \dots, c_{n-1})$  و  $\lambda_i$  ها مقادیر ویژه  $C$  باشند آنگاه (Davis 1979).

$$\lambda_j = c_0 + c_1 w^j + c_2 w^{2j} + \dots + c_{n-1} w^{(n-1)j} = \sum_{k=0}^{n-1} c_k \times w^{kj}, j = 0, 1, \dots, n-1$$

**تعریف ۴:** ماتریس مربعی  $T = (t_{ij})$  را تاپلیتز (Toeplitz) گویند هرگاه:  $(i, j = 1, 2, \dots, n-1), t_{i,j} = t_{i+1,j+1}$

**مثال ۱:** ماتریس  $T_{4 \times 4}$  تاپلیتز است.

$$T_{4 \times 4} = \begin{bmatrix} a & b & c & h \\ d & a & b & c \\ e & d & a & b \\ f & e & d & a \end{bmatrix}$$

بنابراین در حالت کلی ماتریس تاپلیتز  $T_{n \times n}$  دارای حداکثر  $(2n-1)$  عنصر مجزا بر روی قطرهای آن می‌باشد. همچنین از تعریف ماتریس چرخشی و تاپلیتز می‌توان به این نتیجه رسید که هر ماتریس چرخشی تاپلیتز است ولی هر ماتریس تاپلیتز چرخشی نیست.

**تعریف:** دستگاه  $Ax = b$  را تاپلیتز گویند هر گاه  $A$  ماتریس تاپلیتز باشد.

## ۲- پیش شرطها

### ۲-۱- معرفی پیش شرط استرانگ

پیش شرط استرانگ یک ماتریس چرخشی است که با حرف  $C$  نمایش داده می‌شود. در حل دستگاه تاپلیتز  $Ax = b$  به روش PCG، پیش شرط استرانگ از روی ماتریس تاپلیتز  $A$  بصورت زیر ساخته می‌شود: (۱) سطر اول ماتریس  $C$  از روی سطر اول ماتریس  $A$  و با استفاده از رابطه  $c_k = a_k$  ساخته می‌شود (Strang 1986 Chan 1988, 1989).

(۲) بعد از تشکیل سطر اول ماتریس  $C$ ، بقیه سطرها با استفاده از انتقال به راست چرخشی به اندازه یک مکان از سطرهای قبلی، بدست می‌آید. ماتریس  $C$  ای که به این روش تولید می‌شود به جز در درایه‌های گوشه‌ای، بسیار نزدیک به فرم ماتریس  $A$  است. با بکارگیری روش PCG استرانگ، مقادیر ویژه  $C^{-1}A$  در اطراف «یک» انباشته می‌گردد که باعث کاهش عدد حالت می‌شود (Chan et al 1987).

**مثال ۲:** در حالت  $n = 4$ ، ماتریس تاپلیتز و متقارن، ماتریس  $C$  به روش استرانگ بصورت زیر ساخته می‌شود:

$$A = \begin{bmatrix} a_0 & a_1 & a_2 & a_3 \\ a_1 & a_0 & a_1 & a_2 \\ a_2 & a_1 & a_0 & a_1 \\ a_3 & a_2 & a_1 & a_0 \end{bmatrix}$$

تکرارهای ثابتی به جواب واقعی می‌رسد. اما برای وقتی که مقدار  $\frac{\lambda_{\max}}{\lambda_{\min}}$

بزرگ باشد تعداد تکرارها ممکن است زیاد باشد. در واقع تعداد تکرارهای روش PCG به مقادیر ویژه ماتریس ضرائب بستگی دارد. بنابراین انتخاب یک ماتریس پیش شرط مناسب میتواند باعث انباشته شدن مقادیر ویژه در اطراف عدد یک شده و در نتیجه با کوچک شدن مقدار  $\frac{\lambda_{\max}}{\lambda_{\min}}$  سرعت همگرایی افزایش یابد. استرانگ و چن با قضاویا

نتایج عددی نشان دادند ماتریسهای پیش شرطی از نوع ماتریسهای چرخشی وجود دارد که استفاده از آنها باعث افزایش قابل توجه سرعت همگرایی روش PCG می‌شود (Chan et al 1987, 1989 Chan 1988).

بنابراین از این پس فرض می‌کنیم تعداد تکرارهای روش PCG مقادیری ثابت است و به ابعاد ماتریس ضرائب بستگی ندارد.

**تعریف ۱:** ماتریس چرخشی ماتریس مرتبه  $n$  است که در آن هر سطر با انتقال به راست چرخشی از سطر قبلی بدست می‌آید. ماتریس چرخشی  $C_{n \times n}$  را به صورت زیر نمایش می‌دهیم:

$$C_{n \times n} = \text{circ}(c_1, c_2, \dots, c_n)$$

$$C_{n \times n} = \begin{bmatrix} c_1 & c_2 & \dots & c_{n-1} & c_n \\ c_n & c_1 & c_2 & \dots & c_{n-1} \\ \vdots & \vdots & & & \vdots \\ c_2 & c_3 & & & c_1 \end{bmatrix}$$

همانطور که مشاهده می‌شود عناصر هر سطر با سطرهای دیگر یکسان است تنها با این تفاوت که هر سطر نسبت به سطر قبلی، بصورت چرخشی یک مکان به سمت راست انتقال یافته است.

**تعریف ۲:** ماتریس فوریه بصورت زیر تعریف می‌شود.

$$F = \frac{1}{\sqrt{n}} \begin{bmatrix} 1 & 1 & 1 & \dots & 1 \\ 1 & w^{-1} & w^{-2} & \dots & w^{-(n-1)} \\ 1 & w^{-2} & w^{-4} & \dots & w^{-2(n-1)} \\ \vdots & \vdots & & & \vdots \\ 1 & w^{-(n-1)} & w^{-2(n-1)} & \dots & w^{-(n-1)(n-1)} \end{bmatrix}_{n \times n}$$

**تعریف ۳:** ماتریس فوریه ترانهاده مزدوج بصورت زیر تعریف می‌شود.

$$F^* = \frac{1}{\sqrt{n}} (w^{(i-1)(j-1)}), i, j = 1, 2, \dots, n$$

$F^*$ ،  $F$  متقارن و یکانی (Unitary) می‌باشند و داریم:

$$(\bar{F})^T = F^*$$

$$F = F^T, F^* = (F^*)^T = \bar{F}, F = \bar{F}^*$$

$$FF^* = F^*F = I \Leftrightarrow F^{-1} = F^* = (\bar{F})^T$$

**قضیه ۱:** قطری سازی ماتریسهای چرخشی.

(۱) اگر  $C$  ماتریس چرخشی باشد آنگاه بوسیله  $F$  قابل قطری شدن

از رابطه چن داریم:

$$C = \begin{bmatrix} c_0 & c_1 & c_2 & c_3 \\ c_3 & c_0 & c_1 & c_2 \\ c_2 & c_3 & c_0 & c_1 \\ c_1 & c_2 & c_3 & c_0 \end{bmatrix} = \begin{bmatrix} a_0 & a & a_2 & a \\ a & a_0 & a & a_2 \\ a_2 & a & a_0 & a \\ a & a_2 & a & a_0 \end{bmatrix}$$

$$i = 0 \Rightarrow c_0 = a_0$$

$$i = 1 \Rightarrow c_1 = \frac{a_{-3} + 3a_1}{4} = \frac{3a_1 + a_3}{4} = a$$

$$i = 2 \Rightarrow c_2 = \frac{2a_{-2} + 2a_2}{4} = \frac{4a_2}{4} = a_2$$

$$i = 3 \Rightarrow c_3 = \frac{3a_{-1} + a_3}{4} = \frac{3a_1 + a_3}{4} = a$$

تذکره: اگر  $A$  تاپلیتز و متقارن باشد رابطه چن را می‌توان بصورت ساده‌تر زیر نوشت:

$$c_i = \frac{ia_{n-1} + (n-i)a_i}{n}, i = 0, 1, \dots, n-1 \quad (3)$$

### ۳- حل دستگاه تاپلیتز به روش PCG استرانگ و چن

دستگاه تاپلیتز (۱) را در نظر بگیرید. اگر برای حل این دستگاه از روش PCG با پیش شرط‌های استرانگ یا چن استفاده کنیم و پیش شرط را ماتریس  $C$  از نوع چرخشی بنامیم آنگاه مراحل زیر را باید انجام دهیم.

#### ۳-۱- آماده سازی ماتریس پیش شرط

در این مرحله با یکی از روشهای استرانگ یا چن باید ماتریس  $C$  را تولید کنیم. با توجه به اینکه ماتریس  $C$  شامل  $n^2$  درایه است که باید مقاردهی شوند این مرحله حداکثر در زمان  $O(n)$  انجام داد.

#### ۳-۲- حل دستگاه $Cz = r$

با توجه به الگوریتم PCG مشاهده می‌شود که در هر تکرار باید دستگاهی به فرم  $Cz = 2$  حل گردد. که در آن  $C$  ماتریس چرخشی است. و به عنوان پیش شرط استفاده می‌شود. در این جا روش حل این دستگاه را توضیح می‌دهیم. می‌دانیم که اگر  $\Lambda = \text{diag}(\lambda_0, \lambda_1, \dots, \lambda_{n-1})$ ، ها مقادیر ویژه  $C$  باشند آنگاه  $C = F^* \Lambda F$ . همچنین از نتیجه همین قضیه میدانیم اگر  $C = \text{Circ}(c_0, c_1, \dots, c_{n-1})$  باشد آنگاه:

$$\lambda_i = \sum_{k=0}^{n-1} c_k W^{kj}, i = 0, 1, \dots, n-1 \quad (4)$$

از طرفی داریم:

$$C = F^* \Lambda F \Rightarrow C^{-1} = (F^* \Lambda F)^{-1} = F^{-1} \Lambda^{-1} (F^*)^{-1}$$

$$z = C^{-1} r,$$

میدانیم:

$$C = \begin{bmatrix} c_0 & c_1 & c_2 & c_1 \\ c_2 & c_0 & c_1 & c_2 \\ c_2 & c_1 & c_0 & c_1 \\ c_1 & c_2 & c_1 & c_0 \end{bmatrix} \quad c_k = a_k$$

$$\begin{bmatrix} a_0 & a_1 & a_2 & a_1 \\ a_1 & a_0 & a_1 & a_2 \\ a_2 & a_1 & a_0 & a_1 \\ a_1 & a_2 & a_1 & a_0 \end{bmatrix}$$

### ۲-۲- معرفی پیش شرط

روش چن در سال ۱۹۸۹ برای حل دستگاه تاپلیتز  $Ax = b$  با استفاده از یک پیش شرط بهینه توسط مینیم روش  $\min_c \|C - A\|_F$  ارائه شده است که آن را روش PCG چن می‌نامند. پیش شرط در روش چن نیز همانند روش استرانگ یک ماتریس چرخشی است. روش چن در آزمایشات عددی بهتر از روش استرانگ در کاهش عدد حالت ماتریس  $C^{-1}A$  عمل می‌کند. قضیه زیر چگونگی ساخت پیش شرط چن را بیان می‌کند چن (Strang 1986, Chan 1988, 1989, Anisimov 1999).

قضیه ۲: فرض کنید  $A$  یک ماتریس تاپلیتز و  $C$  یک ماتریس چرخشی بصورت زیر باشد:

$$C = \begin{bmatrix} c_0 & c_1 & \dots & c_{n-1} \\ c_{n-1} & c_0 & \dots & c_{n-2} \\ \vdots & \vdots & \ddots & \vdots \\ c_1 & \dots & c_{n-1} & c_0 \end{bmatrix} \quad \text{چرخشی}$$

$$A = \begin{bmatrix} a_0 & a_1 & \dots & a_{n-1} \\ a_{-1} & & & a_{n-2} \\ \vdots & & & \vdots \\ a_{-(n-1)} & \dots & a_{-1} & a_0 \end{bmatrix} \quad \text{تاپلیتز}$$

در این صورت درایه‌های ماتریس  $C$  توسط رابطه زیر داده می‌شود:

$$\min_c \|C - A\|_F \Rightarrow c_i = \frac{ia_{-(n-i)} + (n-i)a_i}{n}, i = -(n-1), \dots, 0, \dots, (n-1) \quad (2)$$

توجه: به سادگی مشاهده می‌شود که  $C$  متقارن است اگر و فقط اگر  $A$  متقارن باشد. علاوه بر این  $C = A$  است اگر و فقط اگر  $A$  یعنی  $i = 1, 2, \dots, n-1, a_i = a_{-(n-i)}$  است اگر  $A$  خودش ماتریس چرخشی باشد.

مثال ۳: اگر  $A_{4 \times 4}$  ماتریس تاپلیتز و متقارن باشد، ماتریس  $C$  به روش چن بصورت زیر داده می‌شود:

حل کرد. برای این منظور ابتدا بطور مختصر روش FFT را معرفی می-کنیم.

#### ۴-۱- معرفی تبدیل سریع فوریه و الگوریتم‌های آن

اگر  $\{a_0, a_1, \dots, a_{n-1}\}$  یک دنباله از اعداد باشند تبدیل  $DFT^*$  آن دنباله  $\{b_0, b_1, \dots, b_{n-1}\}$  است که بصورت زیر تعریف شده است.

$$b_j = \sum_{k=0}^{n-1} a_k \cdot w^{kj}, \quad j = 1, 2, \dots, n-1$$

که در آن:  $i = \sqrt{-1}, w = e^{\frac{2i\pi}{n}}$  اگر فرض کنیم  $n = 2^s$  تبدیل DFT را می‌توان بصورت زیر نوشت:

$$b_j = \sum_{m=0}^{2^{s-1}-1} a_{2m} w^{2mj} + \sum_{m=0}^{2^{s-1}-1} a_{2m+1} w^{(2m+1)j}$$

$$b_j = \sum_{m=0}^{2^{s-1}-1} a_{2m} e^{2\pi i j m / 2^{s-1}} + w^j \cdot \sum_{m=0}^{2^{s-1}-1} a_{2m+1} e^{2\pi i j m / 2^{s-1}}$$

که در آن  $b_j$  را بصورت مجموع دو  $DFT$  نوشته‌ایم و آن را تبدیل سریع فوریه ( $FFT$ ) می‌نامیم.

روال بازگشتی R-FFt برای محاسبه تبدیل سریع فوریه، دنباله  $A = \{a_0, a_1, \dots, a_{n-1}\}$  به عنوان ورودی پذیرفته و دنباله  $B = \{b_0, b_1, \dots, b_{n-1}\}$  را نتیجه می‌دهد:

#### Procedure R-FFT(A, B)

if  $n = 1$  then  $b_0 \leftarrow a_0$

else

1)  $R-FFT(\{a_0, a_2, \dots, a_{n-2}\}, \{u_0, u_1, \dots, u_{n/2-1}\})$

2)  $R-FFT(\{a_1, a_3, \dots, a_{n-1}\}, \{v_0, v_1, \dots, v_{n/2-1}\})$

3)  $z \leftarrow 1$

4) for  $j = 0$  to  $n-1$  do

4.1)  $b_j \leftarrow u_{j \bmod (n/2)}$

4.2)  $z \leftarrow z \times w$

end for.

end if

برای ارزیابی پیچیدگی زمانی الگوریتم می‌توان نوشت:

$$T(n) = 2T(n/2) + O(n) \Rightarrow$$

$$T(n) = O(n \log n)$$

این الگوریتم در سال ۱۹۶۵ توسط کولی و تاکی ارائه شد که به الگوریتم  $Radix-2$  نیز معروف است. با تبدیل الگوریتم بازگشتی  $R-FFT$  به حالت غیر بازگشتی الگوریتم  $ITERATIVE-FFT$  به دست می‌آید که در آن  $X$  دنباله ورودی و  $Y$  دنباله خروجی در نظر گرفته شده است.

$$(F^*)^{-1} = F, \quad \Lambda^{-1} = \text{diag}(1/\lambda_0, 1/\lambda_1, \dots, 1/\lambda_{n-1})$$

بنابراین می‌توان نوشت:

$$z = (F^* \Lambda^{-1} F) r \quad (5)$$

رابطه اخیر نشان می‌دهد که دستگاه  $Cz = r$  را می‌توان سه عمل ضرب ماتریس- بردار انجام داد. که در آن ماتریس‌های  $F^*, F$  معلوم می‌باشند. اما ماتریس قطری  $\Lambda^{-1}$  توسط  $\lambda_0, \lambda_1, \dots, \lambda_{n-1}$  مشخص می‌گردد.  $\lambda_i$  مقادیر ویژه ماتریس  $C$  هستند که از رابطه (۴) بدست می‌آیند. اگر این رابطه را به فرم ماتریسی در آوریم آنگاه:

$$\begin{bmatrix} 1 & 1 & 1 & \dots & 1 \\ 1 & w & w^2 & \dots & w^{n-1} \\ 1 & w^2 & w^4 & \dots & w^{2(n-1)} \\ \vdots & \vdots & \vdots & \ddots & \vdots \\ 1 & w^{n-1} & w^{2(n-1)} & \dots & w^{(n-1)(n-1)} \end{bmatrix} \begin{bmatrix} c_0 \\ c_1 \\ c_2 \\ \vdots \\ c_{n-1} \end{bmatrix} = \begin{bmatrix} \lambda_0 \\ \lambda_1 \\ \lambda_2 \\ \vdots \\ \lambda_{n-1} \end{bmatrix}$$

بنابراین با توجه به تعریف ماتریس  $F^*$  می‌توان نوشت:

$$\begin{bmatrix} \lambda_0 \\ \lambda_1 \\ \vdots \\ \lambda_{n-1} \end{bmatrix} = \sqrt{n} F^* \begin{bmatrix} c_0 \\ c_1 \\ \vdots \\ c_{n-1} \end{bmatrix}$$

یعنی مقادیر ویژه ماتریس  $C$  را می‌توان با ضرب ماتریس  $F^*$  در بردار مربوط به سطر اول ماتریس  $C$  بدست آورد که از آنجا ماتریس  $\Lambda^{-1}$  نیز قابل محاسبه است. در واقع دستگاه  $Cz = r$  با چهار عمل ضرب ماتریس - بردار قابل حل است بنابراین پیچیدگی زمانی الگوریتم PCG با فرض اینکه تعداد تکرارهای الگوریتم مقدار ثابتی باشد بصورت

$$T(n) = o(k, 4n^2) = o(n^2) \quad \text{PCG}$$

#### ۴- کاهش تعداد محاسبات با استفاده از تبدیل سریع فوریه

چنانچه گفته شد در هر تکرار از الگوریتم PCG برای حل دستگاه  $Ax = b$  باید دستگاهی به فرم  $Cz = r$  حل گردد. که در آن  $C$  ماتریس چرخشی حاصل از استرنگ یا چن می‌باشد. در این قسمت نشان می‌دهیم که چگونه می‌توان این دستگاه را با استفاده از تبدیل فوریه (FFT: Fast Fourier Transform) با تعداد محاسبات کمتری

قضیه ۳: اگر  $C_{n \times n}$  ماتریس چرخشی نامنفرد باشد آنگاه دستگاه  $Cz = r$  در زمان  $O(n \log n)$  قابل حل است.

اثبات: با توجه به قضیه قطری سازی ماتریسهای چرخشی دستگاه  $Ca = r$  را می‌توان بصورت زیر حل کرد:

$$\left. \begin{aligned} z &= C^{-1} \\ C &= F^* \wedge F \\ \wedge &= \text{diag}(\lambda_0, \lambda_1, \dots, \lambda_{n-1}) \end{aligned} \right\} \Rightarrow z = (F^* \wedge^{-1} F)r$$

که در آن ماتریسهای  $F, F^*$  به ترتیب ماتریس فوریه و ماتریس فوریه ترانسپوزه مزدوج می‌باشند. همچنین  $\lambda_i$  مقادیر ویژه ماتریس  $C$  می‌باشند. عمل ضرب ماتریس فوریه یا ماتریس ترانسپوزه مزدوج در یک بردار معادل با عمل  $FFT$  روی بردار مفروض می‌باشد که بجای  $O(n^2)$  عملیات می‌تواند در  $O(n \log n)$  انجام گیرد. از طرف دیگر مقادیر ویژه ماتریس  $C$  از رابطه (4) بدست می‌آیند که دقیقاً معادل با تعریف DFT می‌باشد به عبارت دیگر دنباله  $\{\lambda_0, \lambda_1, \dots, \lambda_{n-1}\}$  را می‌توان از تبدیل سریع فوریه دنباله  $\{c_0, c_1, \dots, c_{n-1}\}$  در  $O(n \log n)$  بدست آورد. بنابراین دستگاه  $Cz = r$  در زمان  $O(n \log n)$  قابل حل است.

نتیجه: دستگاه  $Cz = r$  به صورت  $z = (F^* \wedge^{-1} F)r$  با استفاده از دو عمل  $FFT$  جهت ضرب ماتریسهای  $F^* F$  در بردار مفروض و نیز یک عمل  $FFT$  جهت محاسبه مقادیر ویژه ماتریس  $C$  و در نتیجه محاسبه ماتریس  $C$  و در نتیجه  $\wedge^{-1}$ ، در زمان  $O(n \log n)$  قابل حل است. توجه کنید که ضرب ماتریس  $\wedge^{-1}$  در یک بردار با توجه به قطری بودن آن می‌تواند در  $O(n)$  انجام گیرد.

#### ۵- بهینه سازی الگوریتم PCG در حل دستگاه تاپلیتز

در اینجا می‌خواهیم نشان دهیم ضرب ماتریس تاپلیتز در بردار را با استفاده از  $FFT$  می‌توان در زمان  $O(n \log n)$  به جای زمان  $O(n^2)$  انجام داد که به این طریق تعداد محاسبات در هر تکرار از الگوریتم PCG به طور قابل ملاحظه‌ای کاهش خواهد یافت. برای این منظور ابتدا لم زیر را ثابت می‌کنیم (Chan et al. Bunch 1985) (Gupta et al. 1992 1987).

لم: اگر  $T_{n \times n}$  ماتریس تاپلیتز باشد آنگاه ماتریس چرخشی بلوکی  $C_{2 \times 2}$  وجود دارد بطوریکه  $T_{n \times n}$  در جایگاه سطر اول و ستون اول آن قرار دارد.

اثبات: فرض کنید  $T_{n \times n}$  ماتریس تاپلیتز باشد. از تعریف ماتریس تاپلیتز نتیجه می‌شود که هر ماتریس تاپلیتز بطور یکتا توسط عناصر سطر اول و ستون اول آن قابل تعریف است. اگر  $T_{n \times n}$  را به صورت زیر

Procedure ITERATIVE – FFT(X, Y, n)

Step1:  $1) r \leftarrow \log n$

1.2) for  $i = 0$  to  $n - 1$  do

endfor.

Step2: for  $m = 0$  to  $r - 1$  do

2.1) for  $i = 0$  to  $n - 1$  do

$S[i] \leftarrow R[i]$

endfor.

2.2) for  $i = 0$  to  $n - 1$  do

{Let  $(b_{r-1} \dots b_1 b_0)$  be the binary representation of  $i$ }

i)  $j \leftarrow (b_{r-1} \dots b_{m+1} 0 b_{m-1} \dots b_0)$

ii)  $k \leftarrow (b_{r-1} \dots b_{m+1} 1 b_{m-1} \dots b_0)$

endfor.

endfor.

Step3: for endfor  $i = 0$  to  $n - 1$  do

$Y[i] \leftarrow R[i]$

endfor.

این الگوریتم دارای  $\log n$  تکرار در حلقه خارجی از گام ۲ است. مقدار  $m$  به عنوان اندیس این حلقه نشان دهنده سطح  $\log n - m$  از الگوریتم بازگشتی است. بنابراین الگوریتم مورد نظر از عمیق‌ترین سطح در الگوریتم بازگشتی شروع به کار میکند و مانند هر سطح در الگوریتم بازگشتی در هر تکرار از الگوریتم تعداد  $n$  عمل ضرب و  $n$  عمل جمع انجام می‌دهد. الگوریتم دارای دو حلقه است در گام ۲ است. حلقه خارجی برای ورودی به طول  $n$  دارای  $\log n$  تکرار است. حلقه داخلی در هر تکرار از حلقه خارجی انجام می‌شود که خود شامل  $n$  تکرار است که هر کدام در زمان ثابتی انجام می‌گیرند. بنابراین زمان الگوریتم برابر  $O(n \log n)$  است. در هر تکرار از حلقه خارجی دنباله  $R$  توسط عناصر ذخیره شده در دنباله  $S$  که در تکرار قبلی الگوریتم تولید شده‌اند بهنگام می‌شود. در اولین تکرار دنباله  $R$  توسط دنباله  $X$  مقدار دهی اولیه می‌شود. در پایان الگوریتم تبدیل  $FFT$  دنباله  $X$  در دنباله  $Y$  تولید می‌شود. اندیس  $k, j, z$  از اندیس  $i$  به صورتی که گفته می‌شود به دست می‌آید. فرض کنید  $n = 2^r$  و  $0 \leq m \leq r$  دارای نمایش دو دویی شامل  $r$  بیت باشد. اگر  $(b_{r-1} \dots b_1 b_0)$  نمایش دو دویی  $i$  باشد در تکرار  $m$ ام از حلقه خارجی  $0 \leq m \leq r$  اندیس  $j$  توسط صفر کردن  $m$  امین بیت با ارزش از  $i$  بیت  $b_m$  می‌تواند صفر یا یک باشد. بنابراین هر بار یکی از دو اندیس  $j, k$  با  $i$  برابر خواهند بود.

۴-۲- کاهش محاسبات در حل دستگاه تاپلیتز با استفاده از

FFT

$$C_{2 \times 2} = \begin{bmatrix} T_{n \times n} & C_{12} \\ C_{21} & C_{22} \end{bmatrix}$$

با فرض  $\bar{0} = [00 \dots 0]^T$  می توان نوشت:

$$\begin{bmatrix} T_{n \times n} & C_{12} \\ C_{21} & C_{22} \end{bmatrix} \begin{bmatrix} x \\ \bar{0} \end{bmatrix} = \begin{bmatrix} Tx \\ C_{21}x \end{bmatrix}$$

بردار حاصل از  $n$  عنصر اول بردار سمت راست در رابطه بالا همان جواب مورد نظر یعنی  $y$  است. بنابراین برای محاسبه  $y = Tx$  کفایت ماتریس چرخشی  $C$  از مرتبه  $(2n-1) \times (2n-1)$  را در بردار  $[x \bar{0}]^T$  ضرب نمائیم که این عمل را میتوان از طریق FFT در زمان  $(2n-1) \log(2n-1)$  انجام داد و اثبات قضیه به پایان می-رسد.

**نتیجه:** با توجه به اینکه الگوریتم PCG شامل دو عمل اساسی حل دستگاه  $Cz = r$  و ضرب ماتریس تاپلیتیز در بردار است و هر دو عمل را می توان با استفاده از FFT در زمان  $O(n \log n)$  انجام داد بنابراین بهترین الگوریتم تریبی برای حل دستگاه تاپلیتیز  $Ax = b$  به روش PCG دارای زمان  $O(n \log n)$  است.

#### ۶- الگوریتم های موازی FFT

در اینجا روش تعویض دو دویی را برای موازی FFT ارائه می کنیم که مبتنی بر الگوریتم *ITERATIVE - FFT* می باشد (Kumar et al. 1994 1990 1986 Strang). در این روش تعویض داده ها فقط بین زوج پردازنده هایی که در نمایش دودویی تنها در یک بیت با هم اختلاف دارند انجام می گیرد. این روش را برای ساختارهای مش و فوق مکعبی در حالتی که هر عنصر ورودی در یک پردازنده در یک پردازنده قرار گیرد و نیز در حالتی چند عنصر ورودی در یک پردازنده قرار گیرد مورد مطالعه قرار می دهیم.

#### ۶-۱- شبکه فوق مکعبی (Hypercube)

فرض کنید  $P = 2^q, q \geq 1, q \in N$  بوده و تعداد  $P$  پردازنده، در دسترس باشد. یک شبکه فوق مکعبی با بعد  $q$  با ارتباط دادن هر پردازنده با  $q$  پردازنده مجاور که هر کدام از لحاظ نمایش دودویی تنها در یک بیت با آن اختلاف دارند به دست می آید. توجه داریم که هر پردازنده را می توان با نمایش دودویی آن که شامل  $q$  بیت است مشخص نمود. چنین شبکه ای را می توان یک گراف  $q$  منتظم نیز تلقی کرد. شکل ۱ این ساختار را برای  $p = 2^3$  نشان می دهد (Anisimov 1989 Akl 1989 Bitmead & Anderson 1980).

در نظر بگیریم:

$$T_{n \times n} = \begin{bmatrix} x_1 & x_2 & \dots & x_n \\ x_{2n-1} & x_1 & \dots & x_{n-1} \\ x_{2n-2} & & \dots & \\ \vdots & & & x_2 \\ x_{n+1} & \dots & x_{2n-1} & x_1 \end{bmatrix}$$

نشان می دهیم ماتریس چرخشی  $C$  که بصورت زیر تعریف می شود همان ماتریس مورد نظر است.

$$C = \text{Circ}(x_1, x_2, \dots, x_n, x_{n+1}, x_{n+2}, \dots, x_{2n-1})$$

واضح است که ماتریس  $C$  به ابعاد  $(2n-1) \times (2n-1)$  خواهد بود. اگر ماتریس  $C$  را بصورت یک ماتریس بلاکی  $2 \times 2$  بصورت زیر در نظر بگیریم بطوریکه در آن ماتریسهای  $C_{11}, C_{22}$  به ابعاد  $n \times n$  و ماتریسهای  $C_{21}, C_{12}$  به ابعاد  $(n-1) \times (n-1)$  باشند باید نشان دهیم:  $C_{11} = T_{n \times n}$

$$C_{2 \times 2} = \begin{bmatrix} C_{11} & C_{12} \\ C_{21} & C_{22} \end{bmatrix}$$

می دانیم هر ماتریس چرخشی یک ماتریس تاپلیتیز است. بنابراین ماتریس چرخشی  $C$  تاپلیتیز است در نتیجه هر بلاک از آن تاپلیتیز خواهد بود. به عبارت دیگر ماتریس  $C_{11}$  تاپلیتیز و از مرتبه  $n \times n$  است. اکنون برای اثبات تساوی دو ماتریس تاپلیتیز  $T_{n \times n}, C_{11}$  کفایت ثابت کنیم عناصر سطر اول و ستون اول آنها با هم برابر است. با توجه به تعریف  $C$  داریم:

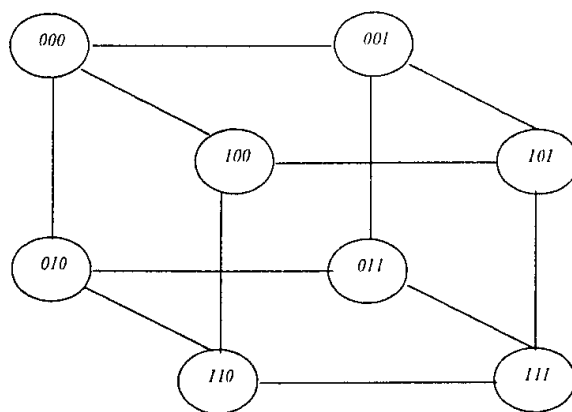
$$C = \text{Circ}(x_1, x_2, \dots, x_n, x_{n+1}, x_{n+2}, \dots, x_{2n-1})$$

یعنی سطر اول ماتریس  $C_{11}$  برابر  $(x_1, x_2, \dots, x_n)$  که برابر با سطر اول ماتریس  $T_{n \times n}$  است. از طرفی در هر ماتریس چرخشی هر سطر از چرخش سطر قبلی به اندازه یک مکان به راست پدید می آید در نتیجه با توجه به اینکه  $n-1$  عنصر آخر از سطر اول  $C$  به صورت  $(x_{n+1}, x_{n+2}, \dots, x_{2n-1})$  در نظر گرفته شده اند عناصر  $(x_{n-1}, x_{n+2}, \dots, x_{2n-1})$  به ترتیب در موقعیت اول از سرهای  $(n, n-1, \dots, 2)$  قرار خواهند گرفت. یعنی ستون اول ماتریس  $C_{11}$  برابر  $(x_1, x_{2n-1}, \dots, x_{n+2}, x_{n+1})^T$  است که برابر با سطر اول ماتریس  $T_{n \times n}$  است. در نتیجه خواهیم داشت  $C_{11} = T_{n \times n}$  و اثبات به پایان می رسد.

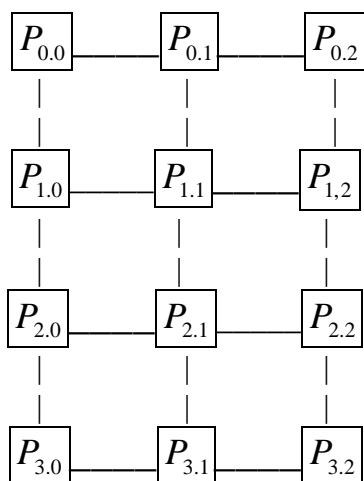
**قضیه ۴:** ضرب ماتریس تاپلیتیز  $T_{n \times n}$  در یک بردار میتواند در زمان  $O(n \log n)$  انجام شود.

**اثبات:** فرض کنید  $T_{n \times n}$  ماتریس تاپلیتیز و  $x$  بردار دلخواه  $n \times 1$  باشد. و هدف محاسبه  $y = Tx$  باشد. با توجه به لم قبل میتوان گفت ماتریس چرخشی بلوکی  $C_{2 \times 2}$  بصورت زیر وجود دارد.

های  $n/P$  تقسیم می‌کنیم و هر قسمت را در یک پردازنده قرار می‌دهیم. خاصیت جالب در این روش این است که اگر  $b_{r-1} \dots b_1 b_0$  نمایش دودویی  $i$  باشد آنگاه  $R[i], S[i]$  در پردازنده‌ای قرار دارند که بیت با ارزش دودویی آن به صورت  $b_{d-1} \dots b_1 b_0$  است. این خاصیت نقش مهمی در تعیین تعداد برقراری ارتباط بین پردازنده‌ها در طول اجرای الگوریتم دارد. شکل ۲ این مطلب را برای  $n = 2^4, P = 2^2$  نشان می‌دهد.



شکل ۱: شبکه فوق مکعبی،  $P=2J$ .



شکل ۲: شبکه مش با ابعاد  $4 \times 3$ .

همان طور که می‌دانیم (بنابر اشکال موجود در این 1989 Akl) عناصری که اندیس آنها در  $d (= 2)$  بیت با ارزش با یکدیگر اختلاف دارند در پردازنده‌های جداگانه‌ای قرار دارند. بنابراین تمام عناصری که در  $d$  بیت با ارزش یکسانند در یک پردازنده قرار دارند. بیاد دارید که تبدیل FFT برای ورودی به طول  $n$  شامل  $r = \log n$  تکرار در حلقه خارجی است. در تکرار  $m$  ام از حلقه خارجی عناصری که اندیس آنها در  $m$  بیت با ارزش با هم اختلاف دارند با هم ترکیب میشوند. در نتیجه عناصری که در  $d$  تکرار اول الگوریتم با هم ترکیب می‌شوند در پردازنده‌های یکسانی قرار دارند و زوج عناصری که در جریان  $(r - d)$  تکرار باقیمانده با هم ترکیب می‌شوند در پردازنده‌های یکسانی قرار دارند بنابراین در این الگوریتم ارتباطات بین پردازنده‌ای فقط در جریان  $d = \log P$  تکرار از  $\log n$  تکرار انجام می‌گیرد و در جریان  $(r - d)$  تکرار دیگر هیچ ارتباط بین پردازنده‌ای انجام نمی‌گیرد به عبارت دیگر در  $i$  امین تکرار را از اولین  $d$  تکرار تمام عناصری که یک پردازنده به آنها نیاز دارد از پردازنده‌ای می‌باشند که در نمایش دودویی در  $i$  بیت با ارزش با این پردازنده اختلاف دارند. در هر عمل ارتباطی تعداد  $n/P$  عناصر بین دو پردازنده منتقل می‌شوند. از طرفی هر عمل ارتباطی فقط بین دو پردازنده‌ای که بطور مستقیم به هم متصل‌اند انجام می‌شود. بنابراین زمان عمل ارتباطی

### الف- هر عنصر در یک پردازنده

در نظر بگیرید در یک شبکه فوق مکعبی  $n$  پردازنده موجود باشد بطوریکه در هر پردازنده یک عنصر از داده ورودی قرار گرفته باشد. به عبارت دیگر اگر  $X[i] (i = 1, 2, \dots, n)$  داده‌های ورودی باشند آنگاه داده  $X[i]$  در پردازنده  $P_i$  قرار داشته باشد. اکنون الگوریتم  $ITERATIVE - FFT$  یا  $Radix-2$  را در نظر بگیرید. در هر یک از  $\log n$  تکرار از حلقه خارجی پردازنده  $P_i$  مقدار  $R[i]$  را بهنگام می‌کند. برای انجام این عمل  $P_i$  به داده‌ای از دنباله  $S$  از پردازنده‌ای که در نمایش دودویی تنها در یک بیت با آن اختلاف دارد نیاز دارد. بنابراین محاسبه موازی FFT بطور طبیعی منطبق با ماهیت شبکه فوق مکعبی است. چرا که در این ساختار هر دو پردازنده‌ای که تنها در یک بیت با هم اختلاف دارند بطور مستقیم به هم متصل‌اند. در اولین تکرار از الگوریتم تمام زوج پردازنده‌هایی که در با ارزش‌ترین بیت با هم اختلاف دارند با یکدیگر ارتباط برقرار می‌کنند. بطور مشابه در تکرار دوم الگوریتم تمام زوج پردازنده‌هایی که در دومین بیت با ارزش با هم اختلاف دارند با یکدیگر ارتباط برقرار می‌کنند و به همین ترتیب این روند در تکرارهای بعدی ادامه می‌یابد. در هر تکرار از  $\log n$  تکرار هر پردازنده یک عمل جمع و یک عمل ضرب و نیز یک عمل ارسال داده به پردازنده‌ای که به طور مستقیم به آن متصل است انجام می‌دهد. بنابراین هر تکرار از الگوریتم زمان ثابتی طول می‌کشد. یعنی زمان الگوریتم موازی FFT در شبکه فوق مکعبی برابر  $O(\log n)$  خواهد بود. بنابراین هزینه الگوریتم برابر  $O(n \log n)$  خواهد بود. یعنی الگوریتم بهینه است.

### ب- چند عنصر در یک پردازنده

فرض کنید بخواهیم تبدیل FFT برای  $n$  داده ورودی را بر روی یک شبکه فوق مکعبی با  $P$  پردازنده که در آن  $P < n$  فرض می‌شود به دست آوریم. همچنین فرض کنید  $n, P$  هر دو توانی از دو باشند بطوریکه  $n = 2^r, P = 2^d$  دنباله ورودی را به  $P$  قسمت به اندازه-

پردازنده از طریق بیش از یک اتصال انجام خواهد گرفت. بطور کلی تر میتوان گفت در  $\log \sqrt{P}$  گام از  $\log P$  گام لازم برای ایجاد ارتباط پردازنده‌های شرکت کننده در ارتباط در یک سطر قرار دارند. در  $\log \sqrt{P}$  گام باقیمانده این پردازنده‌ها در یک ستون قرار دارند. فاصله بین این پردازنده‌ها در یک سطر یا یک ستون در هر یک از  $\log \sqrt{P}$  گام دو برابر می‌شود در نتیجه این فاصله از یک اتصال به  $\sqrt{P/2}$  اتصال رشد می‌یابد. بنابراین مجموع زمان لازم برای انجام ارتباطات سطری در مش به روش SF برابر است با:

$$\sum_{m=0}^{d/2-1} (t_s + t_w (n/P) 2^m)$$

مجموع زمان لازم برای ارتباطات ستونی نیز برابر همین مقدار است. اگر زمان لازم برای عمل جمع و ضرب مختلط را با  $t_c$  نمایش دهیم با توجه به اینکه در هر تکرار از  $\log n$  تکرار، هر پردازنده عملیات لازم را برای  $n/P$  عناصر انجام می‌دهد بنابراین زمان اجرای الگوریتم موازی برابر است با:

$$\begin{aligned} T_p &= t_c \frac{n}{P} \log n + 2 \sum_{m=0}^{d/2-1} (t_s + t_w \frac{n}{P}) 2^m \\ &= t_c \frac{n}{P} \log n + 2(t_s \log \sqrt{P} + t_w \frac{n}{P} (\sqrt{P} - 1)) \\ &\approx t_c \frac{n}{P} \log n + t_s \log P + 2t_w \frac{n}{\sqrt{P}} = O(\frac{n}{P} \log n) \end{aligned}$$

هزینه الگوریتم برابر است با:

$$Cost = P.T_p =$$

$$t_c n \log n + t_s P \log P + 2t_w n \sqrt{P} = O(n \log n)$$

بنابراین الگوریتم با شرط  $P = O(\log^2 n)$  یا  $\sqrt{P} = O(\log n)$  بهینه است. سرعت و کارایی الگوریتم را می‌توان به صورت زیر بیان کرد:

$$E = \frac{1}{1 + (t_s P \log P) / (t_c n \log n) + 2(t_w \sqrt{P}) / (t_c \log n)}$$

$$S = \frac{t_c n \log n}{T_p} = \frac{P n \log n}{n \log n + (t_s / t_c) P \log P + 2(t_w / t_c) n \sqrt{P}}$$

#### ۷- الگوریتم موازی PCG در شبکه‌های مش و فوق مکعبی

اکنون با داشتن الگوریتم‌های موازی FFT در شبکه مش و فوق مکعبی براحتی میتوان الگوریتم موازی PCG را در این ساختار طرح‌ریزی نمود. دستگاه تاپلیتز  $Ax = b$  را که در آن  $A_{n \times n}$  ماتریس تاپلیتز، حقیقی و متقارن معین مثبت است در نظر بگیرید. این ماتریس با عناصر قطری  $a_0, a_1, \dots, a_{n-1}$  مشخص می‌شود. فرض کنید

فقط بین دو پردازنده‌ای که بطور مستقیم به هم متصل‌اند انجام می‌شود. بنابراین زمان عمل ارتباطی در کل برابر  $t_s \log P + t_w (n/P) \log P$  خواهد بود. از طرفی هر پردازنده در طول  $\log P$  تکرار تعداد  $n/P$  از عناصر R را به‌نگام می‌کند. اگر عملیات جمع و ضرب مختلط دارای زمان ثابت  $t_c$  باشد زمان اجرای الگوریتم موازی FFT در شبکه فوق مکعبی با  $n$  ورودی و  $P$  پردازنده بصورت زیر در می‌آید.

$$T_p = t_c \frac{n}{P} \log p + t_s \log P = O(\frac{n}{P} \log n)$$

بنابراین هزینه الگوریتم برابر است با:

$$Cost = P.T_p =$$

$$t_c n \log P + t_s P \log P + t_w n \log P = O(n \log n)$$

یعنی الگوریتم بهینه است. سرعت و کارایی الگوریتم میتواند بصورت زیر بیان شود.

$$S = \frac{t_c n \log n}{T_p} =$$

$$E = \frac{P n \log n}{n \log n + (t_s / t_c) P \log P + (t_w / t_c) n \log P}$$

۱

$$(1 + t_s P \log P) / (t_c n \log n) + (t_w \log P) / (t_c \log n)$$

#### ۷-۲- شبکه مش (Mesh)

یک شبکه مش شامل  $P = r \times c$  پردازنده است که در آن پردازنده‌ها در  $r$  سطر و  $c$  ستون سازماندهی شده‌اند.  $P_{i,j}$  پردازنده‌ای است که در سطر  $i$ ام با پردازنده‌های  $P_{i-1,j}$  و  $P_{i,j-1}$  و  $P_{i,j+1}$  و  $P_{i+1,j}$  در صورت وجود متصل است. شکل ۲ یک شبکه دو بعدی با ابعاد  $4 \times 3$  را نشان می‌دهد (Saad 1988 Miranker 1971).

فرض کنید برای محاسبه FFT یک دنباله  $n$  در ساختار مش از  $P$  پردازنده که در  $\sqrt{P}$  سطر و  $\sqrt{P}$  ستون سازماندهی شده‌اند استفاده شود. بطوریکه  $\sqrt{P}$  توانی از دو باشد. همچنین فرض کنید  $n = 2^r$  و  $P = 2^d$  باشد پردازنده‌ها بصورت ترتیب سطری شماره‌گذاری می‌شوند. توزیع داده‌ها در پردازنده‌ها به همان شکلی که در شبکه فوق مکعبی بیان شد انجام می‌گیرد. در واقع عنصری با اندیس دودویی  $b_{r-1} \dots b_1 b_0$  در پردازنده‌ای با نمایش دودویی  $b_{d-1} \dots b_1 b_0$  قرار می‌گیرد. همانند آنچه در شبکه فوق مکعبی داشتیم ارتباطات بین پردازنده‌ای فقط در طول اولین  $\log P$  تکرار از الگوریتم بین پردازنده‌هایی که اندیس آنها در یک بیت با هم اختلاف دارند انجام می‌گیرد. از طرفی برخلاف شبکه فوق مکعبی این پردازنده‌ها در ساختار مش بطور مستقیم به هم متصل نیستند. به این ترتیب تبادل پیام بین دو



حافظه نیز بهینه است. که علت آن ذخیره سازی عناصر سطری ماتریسها به جای کل ماتریس است.

ب- حل دستگاه  $Cz = r$

با توجه به رابطه  $z = (F^* \wedge^{-1} F)r$  و نیز در نظر گرفتن این مطلب که مقادیر ویژه ماتریس  $C$  از طریق تبدیل سریع فوریه محاسبه است. الگوریتم موازی حل دستگاه  $Cz = r$  را می‌توان براحتی طرح‌ریزی نمود (Joubert 1992 Misra et al. 1993 Vagda 1993 Saad 1988 Kumar 1982 Bitmead & Anderson 1980 Heller et al 1978 Demmel, et al 1993).

فرض کنیم بردارهای  $r, z$  در پردازنده‌های  $P_0, P_1, \dots, P_{P-1}$  به صورت چند مولفه در یک پردازنده توزیع شده باشند.

بطوریکه در هر پردازنده تعداد  $\frac{n}{P}$  از عناصر دو بردار قرار گرفته باشند. همچنین به همین صورت  $\lambda_i$ ها نیز در پردازنده‌ها توزیع شده باشند. الگوریتم دارای مراحل زیر است.

۱- انجام عمل FFT معکوس روی دنباله  $\{r_0, r_1, \dots, r_{n-1}\}$  و ذخیره تبدیل در  $\{z_0, z_1, \dots, z_{n-1}\}$

۲- با فرض اینکه ماتریس قطری  $\wedge^{-1}$  قبلا توسط عمل FFT بر روی دنباله  $\{c_0, c_1, \dots, c_{n-1}\}$  و ذخیره تبدیل در  $\{\lambda_0, \lambda_1, \dots, \lambda_{n-1}\}$  و سپس قرار دادن  $\lambda_i = 1/\lambda_i$  و  $i = 0, 1, \dots, n-1$  محاسبه شده است. عمل ضرب ماتریس قطری  $\wedge^{-1}$  در نمودار  $Z$  را بصورت زیر انجام می‌دهیم.  $z_i \leftarrow z_i / \lambda_i \quad i=0, \dots, n-1$

۳- انجام عمل FFT روی دنباله  $\{z_0, z_1, \dots, z_{n-1}\}$  و قرار دادن  $z_i \leftarrow z_i / n$  ,  $i = 0, 1, \dots, n-1$  که نتیجه آن جواب دستگاه  $Cz = r$  می‌باشد.

همانطور که می‌دانیم ضرب ماتریس  $F^*$  در بردار معادل با عمل FFT و ضرب ماتریس  $F$  در یک بردار معادل با عمل FFT معکوس میباشد. واضح است که هر دو عمل ماهیتا یک تبدیل فوریه محسوب می‌شوند و تنها تفاوت در توانهای  $w$ . ما برای تمایز این دو عمل آنها را با  $FFT, IFFT$  نشان می‌دهیم. الگوریتم موازی  $FSOLVE$  بصورت زیر نوشته شود:

Procedure  $FSOLVE(c, z, r)$

Step1:  $IFFT(r, z)$

Step2: for  $i = 0$  to  $(P-1)$  do in parallel

for  $j = 0$  to  $(\frac{n}{P}-1)$  do

$z_j \leftarrow z_j / \lambda_j$

end for.

end for.

$P = 2^{2S}$  و تعداد  $P$  پردازنده شامل  $P_0, P_1, \dots, P_{P-1}$  در شبکه مش یا فوق مکعبی موجود باشد. همچنین فرض کنید  $n$  مضرب از  $P$  باشد. اکنون بردارهای  $a = [a_0, a_1, \dots, a_{n-1}]$  را که از روی عناصر سطری ماتریس تاپلیتز  $A$  ساخته می‌شوند در نظر بگیریم. هر کدام از این دو بردار را به  $P$  قسمت تقسیم کرده و هر قسمت را که شامل  $\frac{n}{P}$  عنصر است در یک پردازنده قرار می‌دهیم. با توجه به این مفروضات در ادامه عملیات لازم برای حل دستگاه را توضیح می‌دهیم.

الف- آماده سازی ماتریس پیش شرط

در این جا نحوه آماده سازی پیش شرط چن را که یک ماتریس چرخشی است توضیح می‌دهیم. همانطور که می‌دانیم طبق روش چن درایه‌های ماتریس  $C$  توسط فرمول (2) زیر داده می‌شود ( $A$  متقارن است).

الگوریتم موازی  $FSETUP - PRECOND$  پیش شرط نوع چن را که یک ماتریس چرخشی بصورت  $C = Circ(c_0, c_1, c_{n-1})$  است، تولید و آماده سازی می‌کند:

Procedure  $F - SETUP - PRECOND(A, C)$

for  $i = 1$  to  $P - 1$  do in parallel

Processor  $P_i$  do

for  $j = 0$  to  $(\frac{n}{P} - 1)$  do

2.1)  $k \leftarrow i \times (\frac{n}{P} - 1)$  do

2.2) if  $k = 0$  then  $c_0 \leftarrow a_0$

else  $c_j \leftarrow \frac{k\bar{a}_i + (n-k)a_j}{n}$

end if

end for.

end for.

توجه کنید که برای محاسبه  $c_1$  به دو داده  $a_1$  و  $a_{n-1}$  نیاز است که هر دوی آنها با توجه به نوع توزیع بردارهای  $a, \bar{a}$  در پردازنده مورد نظر موجود می‌باشند. ابتدا در گام 2.1 با استفاده از رابطه

$k = i \times \frac{n}{P} j$  اندیس واقعی عنصر مورد نظر پیدا شده و سپس در

گام 2.2 با استفاده از فرمول چن مقدار  $c_j$  محاسبه میشود. واضح

است که الگوریتم در زمان  $O(\frac{n}{P})$  انجام می‌گیرد یعنی هزینه آن

برابر  $O(n)$  بوده و بهینه است. علاوه بر این میزان حافظه مورد

استفاده در این روش برابر  $O(2n)$  می‌باشد که از لحاظ مصرف

بطوریکه در هر پردازنده  $\frac{2n}{P}$  از عناصر باشد. اکنون اگر ماتریس چرخشی  $C'$  را بصورت  $C'F^*\Delta^{-1}F$  قطری سازی نماییم که در آن  $\Delta = \{\mu_0, \mu_1, \dots, \mu_{2n-1}\}$  می‌باشند آنگاه عمل ضرب ماتریس تاپلیتز در بردار  $V$  معادل با عمل ضرب  $(F^*\Delta^{-1}F)\begin{bmatrix} V \\ 0 \end{bmatrix}$  خواهد بود که از طریق  $FFT$  همانند آنچه برای حل دستگاه  $Cz = r$  گفته شد قابل انجام است ( $\bar{0}$  یک بردار  $n$  تایی با مولفه‌های صفر است). توجه دارید که در بردار  $2n$  عنصری حاصل تنها  $n$  عنصر اول بردار که در  $\frac{P}{2}$  پردازنده‌های ابتدایی قرار گرفته‌اند جواب مسأله است. با توجه به آنچه گفته شد نتیجه می‌شود عمل ضرب ماتریس تاپلیتز در یک بردار قابل انجام صورت موازی بر روی شبکه‌های مش و فوق مکعبی در زمان  $O(\frac{2n}{P} \log(2n))$  است.

#### ۸- ارزیابی الگوریتم موازی $PCG$ در شبکه مش و فوق مکعبی

الگوریتم موازی  $PCG$  شامل عملیات اساسی زیر است.

$T_{setup}$  = زمان آماده سازی ماتریس پیش شرط

$T_{solve} = Cz = r$  = زمان حل دستگاه

$T_{mult}$  = زمان ضرب ماتریس تاپلیتز در بردار

بنابراین میتوان نوشت:

$$T_p = T_{setup} + T_{solve} + T_{Mult}$$

$$T_p O\left(\frac{n}{P}\right) + O\left(\frac{n}{P} \log n\right) + O\left(\frac{2n}{P} \log(2n)\right)$$

$$T_p = O\left(\frac{n}{P} \log n\right)$$

هزینه الگوریتم برابر است با:

$$Cost = PT_p = O(n \cdot \log n)$$

الگوریتم بهینه است. و داریم:

$$S = \frac{T_{seq}}{T_{Pp}} = \frac{O(n \log n)}{O\left(\frac{n}{P} \log n\right)} = O(P)$$

یعنی الگوریتم علاوه بر بهینه بودن دارای سرعتی معادل  $P$  برابر الگوریتم ترتیبی  $PCG$  است.

#### ۹- نتایج عددی

با پیاده سازی الگوریتم‌های بیان شده در PVM و محاسبه زمان اجرای هر تکرار، سرعت و کارایی برنامه نتایج به دست آمده مطابق جداول ۱ و ۲ و ۳ می‌باشد. فرمول‌های محاسبه سرعت و کارایی بصورت زیر میباشد. که در آن  $T_1, T_p$  به ترتیب برابر زمان اجرای الگوریتم موازی

Step3: 3.1)  $FFT(z, z)$

3.2) for  $i = 0$  to  $P - 1$  do in parallel

for  $j = 0$  to  $\left(\frac{n}{P} - 1\right)$  do

$z_j \leftarrow z_j / \lambda_j$

end for.

end for.

آنالیز الگوریتم: گامهای 3.2,2 در زمان  $O\left(\frac{n}{P}\right)$  انجام می‌گیرند. گامهای 3.1,1 الگوریتم موازی  $FFT$  اجرا می‌شود که اگر از الگوریتم‌های بهینه تعویض دودویی یا ترانهاده استفاده کنیم زمان آن در حالت چند عنصر در یک پردازنده برابر  $O\left(\frac{n}{P} \log n\right)$  خواهد بود. بنابراین خواهیم داشت:

$$T_p = O\left(\frac{n}{P} \log n\right)$$

$$Cost = PT_p = O(n \log n)$$

یعنی الگوریتم بهینه است. سرعت و کارایی الگوریتم بصورت زیر به دست می‌آید.

$$S = \frac{T_{Seq}}{T_P} = \frac{O(n \log n)}{O\left(\frac{n}{P} \log n\right)} = O(P)$$

$$E = \frac{S}{P} = O(1)$$

#### چ- ضرب ماتریس تاپلیتز در بردار

یکی از عملیات اساسی که در الگوریتم  $PCG$  جهت حل دستگاه تاپلیتز انجام می‌شود عمل ضرب ماتریس تاپلیتز در بردار مفروض می‌باشد. از قضیه ۴ می‌دانیم که ضرب ماتریس تاپلیتز در یک بردار با استفاده از جاسازی ماتریس تاپلیتز در یک ماتریس چرخشی از طریق سه عمل  $FFT$  بصورت موازی در ساختارهای مش و فوق مکعبی انجام داد. اگر ماتریس تاپلیتز  $A$  با مقادیر  $a_0, a_1, \dots, a_{n-1}$  مشخص شود و بردار  $V$  با مؤلفه‌های  $v_0, v_1, \dots, v_{n-1}$  در دست باشد. آنگاه ابتدا بردار  $V$  در پردازنده‌های  $P_0, P_1, \dots, P_{P-1}$  بصورت چند مولفه در یک پردازنده توزیع می‌شود. بطوریکه در هر پردازنده  $\frac{n}{P}$

عنصر موجود باشد. از قضیه ۴ ماتریس چرخشی  $C' = Circ(a_0, a_1, \dots, a_{n-1}, 0, \dots, a_2, a_1)$  که یک ماتریس چرخشی با ابعاد  $(2n) \times (2n)$  برای این منظور در نظر گرفته می‌شود. عناصر سطر اول این ماتریس بصورت یک بردار در پردازنده‌های  $P_0, P_1, \dots, P_{P-1}$  بصورت چند مولفه در یک پردازنده توزیع می‌شوند

جدول ۲: سرعت (Speedup) الگوریتم Parallel PCG

N	1	2	4	8	16	32
256		1.374	2.019	2.368	2.757	2.092
512		1.648	2.283	3.718	4.481	4.635
1024		1.646	2.927	4.585	6.304	7.019
2048		1.188	2.314	3.855	5.943	7.732
4096		1.769	3.363	6.167	6.909	9.848

جدول ۳: کارایی (Efficiency) الگوریتم Parallel PCG

N	1	2	4	8	16	32
256		0.687	0.505	0.296	0.172	0.065
512		0.823	0.571	0.467	0.280	0.145
1024		0.823	0.732	0.573	0.394	0.219
2048		0.594	0.578	0.482	0.371	0.242
4096		0.884	0.891	0.771	0.432	0.308

با P پردازنده و زمان اجرای الگوریتم با یک پردازنده می‌باشند.

$$(Speedup) S = \frac{T_P}{T_1}$$

$$(Efficiency) E = \frac{T_1}{P T_P}$$

جدول ۱: زمان هر تکرار از الگوریتم Parallel PCG به ملی ثانیه

N	1	2	4	8	16	32
256	0.926	0.608	0.414	0.353	0.303	0.399
512	1.721	1.044	0.414	0.463	0.384	0.371
1024	3.608	2.082	0.688	0.747	0.543	0.488
2048	6.011	4.646	1.170	1.143	0.929	0.714
4096	10.649	5.551	2.386	1.592	1.421	0.997

منابع:

Akl S.G. 1989: The design and analysis of parallel algorithms. Prentice Hall Inter. Inc.  
 Anisimov A.V. 1999: Fibonacci hypercube. *Inter.J. of Comp. Math.* **25**: 221-227.  
 Bertsekas D.P., Tsitsiklis J.N. 1989: Parallel and distributed computations. Prentice Hall.  
 Bitmead R.P., Anderson B.D. 1980: Asymptotically fast solution of methods for Toeplitz and related systems of equations, *Linear Algebra and Appl.* **34**: 103-116.  
 Bunch J.R. 1985: Stability of methods for solving Toeplitz system of equations. *SIAM Sci. Stat. Comput.* **6**: 137-142.  
 Chan R.H. 1988: An optimal circulant preconditioners for solving Toeplitz system of equations. *SIAM J. Sci. Comput.* **9**: 541-634.  
 Chan R.H., Strang G. 1987: The asymptotic Toeplitz-circulant eigenvalue problem. *Appl. Math.* **8**: 210-231.  
 Chan R.H., Strang G. 1989: Toeplitz equation by conjugate gradients with circulant preconditioners. *SIAM J. Sci Comput.* **10**: 104-119.  
 Davis D. 1979: Circulant Matrices. John Wiley & Sons. New York.  
 Demmel J.W., Heath M.T. 1993: Vander H.A. Vort, Parallel numerical algebra. *Acta Numerical.* **5**: 197-111.  
 Gallivan K., Plemmons R.J., Sameh A.H. 1989: Parallel algorithms for dense linear algebra a computations. Prentice Hall.  
 Gupta A., Kumar V., Sameh A. 1992: Performance and scalability of preconditioned conjugate gradients methods on parallel computers, Tech. Rep. TR. 92-6, Dep. of computer Sci. University of Texas at Austin.  
 Heller D. 1978: A. Survey of parallel algorithms in numerical linear algebra. *SIAM Review.* **20**: 740-777.  
 Joubert W. 1992: Lanczos methods for the solution of non-symmetric system of linear equations, *SIAM J. Sci. Matrix Anal. Appl.* **13**: 926-943.  
 Kumar S.P. 1982: Parallel algorithms for solving linear equations on MIMD computers, Ph.D. Thesis. Dept. of Comput. Sci University of Minnesota.  
 Kumar V., Grama A., Gupta A., Karypis G. 1994: Introduction to parallel computing, The Bengamin Cummings Publishing Company. Inc.  
 Miranker W.L. 1971: A survey of parallelism in numerical analysis. *SIAM Review.* **13**: 547-524.  
 Misra M., Nassimi D., Prasanna-Kumar V. K. 1993: Efficient VLSI implementation of iteratives solutions of sparse linear equations. *Parallel Computing.* **19**: 525-544.  
 Qinn M.J. 1990: Parallel computing. Second Edition. Prentice Hall.  
 Saad Y. 1988: Krylov subspace methods on super computers. *SIAM J. Sci. Stat. Comput.* **10**: 203-228.  
 Saad Y. 2002: Iterative methods for sparse linear system, Second Edition, SIAM Publication.  
 Sameh A.H., Kuck D. J. 1977: Parallel direct linear system. Feilmeier. 25-30.  
 Strang G. 1986: A proposal for Toeplitz matrix Calculations. *Stud. Appl. Math.* **74**: 171-176.  
 Vagda S. 1993: Fibonacci & Lucas number and the golden section theory and applications. Prentice Hall.